

بررسی خطر زمین‌لغزش و تحلیل ریسک‌پذیری آن در نواحی روستایی

مطالعه موردنی: دامنه شمالی توده کوهستانی سهند

دکتر فریبا کرمی^۱ و دکتر معصومه رجبی^۲

چکیده

زمین‌لغزش یکی از پدیده‌های طبیعی است که در تحول و فرسایش اشکال زمین مشارکت دارد. این پدیده زمانی که جوامع انسانی را تحت تأثیر قرار می‌دهد می‌تواند به حادثه خطرناکی تبدیل شود. با توجه به اینکه خطرپذیری جوامع انسانی در مطالعات مربوط به رویداد زمین‌لغزش کمتر مورد توجه قرار می‌گیرد، بنابراین این پژوهش سعی دارد ضمن ارائه نقشه خطر، به شناسایی روستاهای در معرض خطر زمین‌لغزش پرداخته و خطرپذیری جوامع انسانی شمال توده کوهستانی سهند را تحلیل و بررسی کند. برای دستیابی به این هدف با بهره‌گیری از سیستم اطلاعات جغرافیایی (GIS) و نرم افزار Arc/View، روش‌های آماری و مدل وزنی شاهد، نقشه پهنه‌بندی خطر زمین‌لغزش در ۵ پهنه بسیار پرخطر، پرخطر، متوسط، کم خطر و بسیار کم خطر، ترسیم شد. برای تحلیل ریسک‌پذیری، یافته‌های پهنه‌بندی خطر زمین‌لغزش با داده‌های محیط انسانی ترکیب شد. نتایج این مطالعه نشان می‌دهد که ۴۱/۶۸ درصد از مساحت دامنه شمالی کوهستان سهند از نظر وقوع زمین‌لغزش در پهنه خطر متوسط تا بسیار پرخطر قرار دارد. ۶۰ درصد آبادی‌های این منطقه با ۱۷۵۳۱ نفر جمعیت در نواحی با خطر متوسط و ۲۰ درصد روستاهای با ۲۳۴۸ نفر جمعیت در محدوده‌های با خطر زیاد وقوع زمین‌لغزش زندگی می‌کنند.

کلیدواژگان: خطرزمین‌لغزش، تحلیل ریسک‌پذیری، مدل وزنی شاهد، نواحی روستایی، دامنه شمالی کوهستان سهند

۱. استادیار گروه پژوهشی جغرافیا، دانشگاه تبریز
۲. دانشیار گروه جغرافیا، دانشگاه تبریز

مقدمه

به فرآیندهای ژئومورفولوژیکی که به حرکت رو به پایین مواد سازنده دامنه، اعم از سنگ، خاک یا مخلوطی از این مواد، منجر شود زمین‌لغزش اطلاق می‌کنند (Goudie, 2004). زمین‌لغزش‌ها بطور ساده از عملکرد نیروی گرانش زمین بر روی دامنه‌ها ناشی می‌شوند. تا زمانی که مقاومت توده سنگ یا خاک مساوی یا بزرگتر از نیروهای گرانش باشد، نیروها در حال تعادل بوده و حرکتی رخ نمی‌دهد. در غیر اینصورت دامنه گسیخته شده و به یکی از اشکال زمین‌لغزش (ریزش، لغزش، خرسن یا جریان) جابجا می‌شود (معماریان، ۱۳۸۱، ۵۶۵). (496, 2008) Dahal et al عوامل اصلی وقوع زمین‌لغزش را زمین‌شناسی سنگ بستر، توپوگرافی (شیب، جهت و انحنا شیب)، ارتفاع، عمق و نوع خاک، کاربری زمین و شبکه‌های زهکشی معرفی کرده‌اند. بارش‌های شدید، زمین‌لرزه و فعالیت‌های آتش‌نشانی از متغیرهای اتفاقی هستند که در وقوع انواع زمین‌لغزش نقش دارند.

کشور ایران ششمین کشور مستعد بلایای طبیعی در جهان است. زیرا از بین ۴۰ بلای طبیعی که در سال‌های ۱۹۷۰-۲۰۰۴ در دنیا اتفاق افتاده، ۵ مورد آن در ایران رخ داده است (اردلان و همکاران، ۱۳۸۵، ۲۶). براساس گزارش کمیته بلایای طبیعی ایران، در طی برنامه پنج ساله اول، خسارات ناشی از بلایای طبیعی در کشور بالغ بر ۱/۶ میلیارد دلار برآورد شده است که بخشی از آن به خسارات زمین‌لغزش مربوط می‌شود (باقریان و همکاران، ۱۳۸۴). مناطق مختلف کشور بویژه مناطق کوهستانی به دلیل دارا بودن شرایط مستعد، وقوع پدیده زمین‌لغزش را بارها تجربه کرده است. دامنه شمالی کوهستان سهند نیز به علت موقعیت کوهستانی و برخورداری از ویژگی‌های طبیعی خاص، مستعد رخداد پدیده زمین‌لغزش می‌باشد و وقوع این پدیده در محیط‌های انسانی آن همواره مشکلاتی را سبب شده است. برای مثال در حال حاضر، مساکن، زمین‌های کشاورزی و زیرساخت‌های روستاهای سفیده خوان، ایرانق، مرانچ و روستای ژمرخزان در معرض انواع زمین‌لغزش‌ها قرار دارند. این در حالتی است که دامنه شمالی سهند از کانون‌های باغداری و دامداری (لیقوان) و همچنین از مراکز مهم گردشگری کشور محسوب می‌شود. برای مثال روستای سفیده خوان از روستاهای نمونه گردشگری استان آذربایجان شرقی و هرbi دره و بیرق از نواحی استقرار خانه‌های دوم گردشگری می‌باشند. برای بهره‌برداری صحیح از منابع طبیعی این منطقه، ضمن محافظت از آنها و اجتناب از تهدید جوامع انسانی، شناسایی پدیدهای مورفوژئیک مانند وقوع زمین‌لغزش‌ها و خطرات ناشی از آنها از اهمیت ویژه برخوردار است.

با تهیه نقشه پهنه‌بندی خطر و شناسایی کانون‌های خطر و تحلیل میزان خطرپذیری حاصل از آن، می‌توان زمینه‌های تعدیل ریسک را فراهم آورد. هدایت برنامه‌های عمرانی روستا (ساماندهی

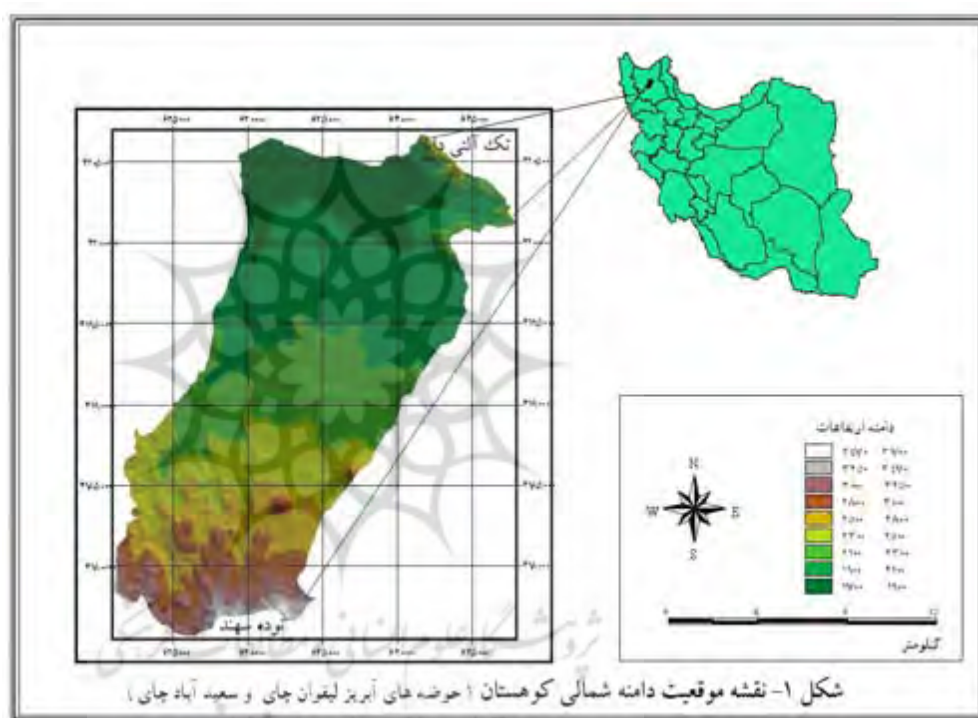
و مقاوم‌سازی سکونتگاه‌های آسیب‌پذیر روستایی، احداث شبکه‌های ارتباطی و توسعه زیرساخت‌های) به مناطق امن و کم خطر می‌تواند گام‌های اساسی در زمینه کاهش خطر، خسارت و افزایش امنیت اجتماعی باشد (Lan et al, 2004, 110). نقشه پهنه‌بندی خطر زمین‌لغزش می‌تواند برنامه‌ریزان را در عرصه‌های مختلف برنامه‌ریزی‌های عمران، مکانیابی اراضی مناسب برای توسعه شهرها و روستاهای، تعیین مسیر راهها، خطوط انتقال نیرو و انرژی یاری نماید. اغلب این مطالعات به شناسایی پدیده زمین‌لغزش و نواحی با پتانسیل بالای وقوع آن اختصاص یافته و کمتر به تحلیل خطرپذیری جوامع انسانی اقدام می‌شود (شریفی نیا، ۱۳۸۶). هدف این تحقیق شناسایی نواحی با خطر زمین‌لغزش در دامنه شمالی توده کوهستانی سهند، شناسایی روستاهای در معرض خطر و تحلیل خطرپذیری نواحی روستایی از این پدیده می‌باشد. برای رسیدن به این هدف از تکنیکهای GIS و مدل وزنی شاهد که براساس دیدگاه آماری دو متغیره استوار است استفاده می‌شود.

ویژگیهای عمومی منطقه

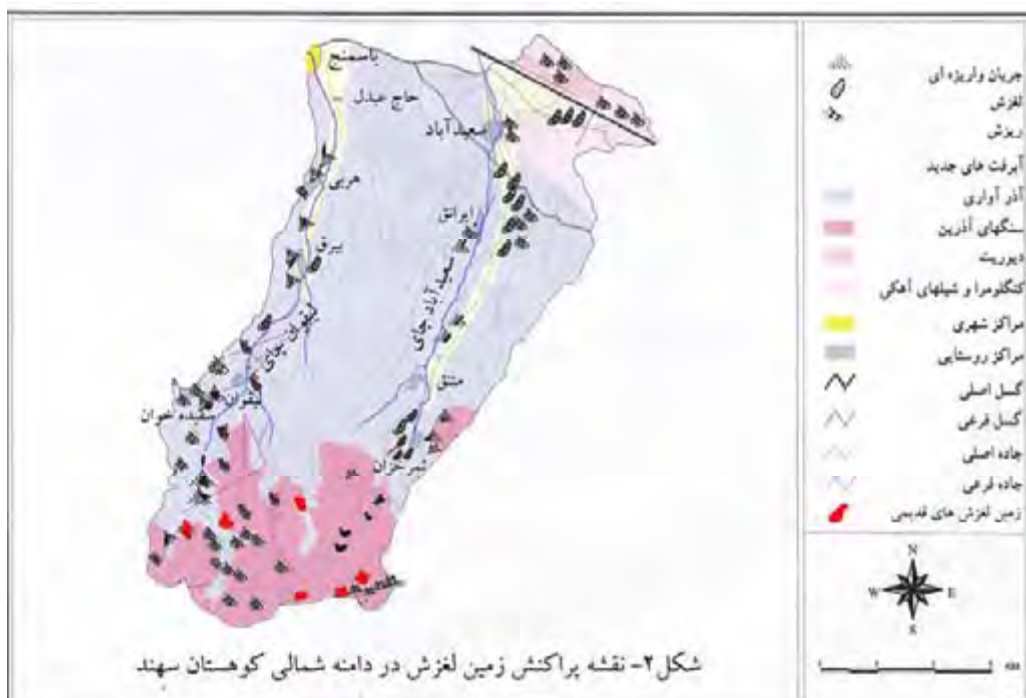
منطقه مورد مطالعه از حوضه‌های دامنه شمالی توده کوهستانی سهند با مختصات جغرافیایی $۳۸^{\circ} ۲۹' - ۳۰^{\circ} ۴۳'$ عرض شمالی و $۵۸^{\circ} ۴۰' - ۴۶^{\circ} ۲۵'$ طول شرقی است (شکل ۱) که از غرب به حوضه آبریز زینجناب‌چای و از شرق به حوضه اوجان‌چای محدود می‌گردد. رودخانه‌های اصلی این منطقه سعیدآباد‌چای و لیقوان‌چای هستند که از بهم پیوستن شاخه‌های فرعی که از قلل مرتفع کوهستان سهند و کوه تکآلتنی سرچشم می‌گیرند، تشکیل شده است. قوچ‌گلی‌داغ (۳۶۹۵ متر)، گیروه‌داغ (۳۵۹۶ متر)، کمال‌داغ (۳۳۱۰ متر)، متال‌داغ، بیوک‌داغ و غیره از قلل مرتفع واحد کوهستانی سهند در جنوب منطقه مطالعاتی می‌باشند و تکآلتنی داغ (۲۶۵۶ متر)، نام واحد کوهستانی دیگری است که در شمال شرقی منطقه قرار دارد. از نظر ویژگی‌های لیتو‌لوژی، سنگ‌های آذرین بیرونی اوسن و میوسن (داسیت، آندزیت، ریوداسیت و غیره) در واحد مرتفع کوهستانی جنوب و سنگ‌های نفوذی (دیوریت و مونزویت اولیگوسن) در واحد کوهستانی شمال (تکآلتنی داغ) دیده می‌شوند. در دامنه شمالی توده کوهستانی سهند، تشكیلات آذرآواری و ولکانوسدیمانترها به شعاع دهها کیلومتر از مرکز آتش‌فشانی به طرف جلگه‌های اطراف گسترش یافته‌اند. ناهمواری تکآلتنی و فلاٹ کندول از سنگ‌های رسوبی (شامل شیل‌های آهکی متعلق به کرتاسه فوقانی) تشکیل شده است و درنهایت آبرفت‌های کواترنر ۸/۴ درصد مساحت حوضه‌های مورد مطالعه را دربرمی‌گیرند. نوع آب و هوای کنونی منطقه مورد مطالعه، نیمه خشک سرد می‌باشد که به سمت ارتفاعات به اقلیم نیمه مرطوب‌سرد تغییر می‌یابد.

بیش از ۶۰ مورد زمین‌لغزش در این منطقه شناسایی شدند که فراوان‌ترین آنها، سنگ‌ریزش، لغزش چرخشی و انتقالی و سنگ لغزش است (شکل ۲). سنگ ریزش و واژگونی سنگ، بر روی دامنه‌های سنگی و پرشیب ارتفاعات به‌موقع می‌پیوندند. این پدیده‌ها در سنگ‌های داسیتی و ریوداسیتی دامنه شمالی شرشر داغ و کمال داغ به‌وفور یافت می‌شوند. همچنین در دامنه شمال‌غربی گیروه‌داغی با سنگ‌های داسیتی، قابل رویت هستند. روی تشکیلات آذرآواری و آبرفت‌های کواترنر نیز اغلب پدیده‌های ریزش واریزهای و لغزش‌های چرخشی اتفاق می‌افتد. طبق آمار سرشماری عمومی نفوس و مسکن ۱۳۸۵ در این منطقه در حدود ۱۱ آبادی وجود دارد که جمعیتی در حدود ۲۳۸۳۲ نفر را دارا می‌باشند.

داده‌های مورد نیاز



پرمال جامع علوم انسانی



شکل ۲- نقشه پراکنش زمین لغزش در دامنه شمالی کوهستان سهند

۱. نقشه توپوگرافی به مقیاس ۱:۲۵۰۰۰ و ۱:۵۰۰۰۰ برای شناسایی منطقه، استخراج آبراهه‌ها، شهرها و روستاهای تهیه مدل رقومی ارتفاع و نقشه شبیه
۲. نقشه زمین‌شناسی (۱:۱۰۰۰۰۰) برای شناسایی و تشخیص واحدهای لیتوژئی، گسل‌ها و غیره
۳. نقشه کاربری اراضی برای تعیین انواع کاربری‌ها و پوشش گیاهی
۴. داده‌های بارش ایستگاه‌های سینوپتیک، هواشناسی و باران‌سنجدی منطقه و پیرامون در دوره آماری ۳۰ ساله برای ترسیم منحنی‌های همبارش
۵. نقشه پراکنش زمین‌لغزش‌ها که از طریق مطالعه عکس هوایی موجود، بازدیدهای میدانی مکرر و ثبت موقعیت آنها و نقشه ژئومورفولوژی (زنگنه، ۱۳۶۹ و رضایی مقدم، ۱۳۷۰) تهیه و ترسیم شده‌اند.
۶. سیستم اطلاعات جغرافیایی و نرم افزار Arc View 2004
۷. داده‌های جمعیت آبادی‌ها براساس سرشماری عمومی نفوس و مسکن کشور (مرکز ملی آمار ایران، ۱۳۸۵)

روشها

برای پهنه‌بندی خطر زمین‌لغزش در دامنه شمالی سهند، ابتدا نقشه پراکنش زمین‌لغزش‌ها قدیمی و کنونی تهیه شد. عوامل مؤثر در وقوع زمین‌لغزش‌های منطقه براساس بازدیدهای میدانی، بررسی نقشه‌های زمین‌شناسی، توپوگرافی، ژئومورفولوژی و برمبنای روش اکتشافی، همانند فیض‌نیا و همکاران (۱۳۸۰، صص ۲۱۹-۲۰۷)، (Carrara, et al, 1999, 427-45) و Guinau, 2005, 316-327) (Carrara, et al, 2003, 1125-1142) انتخاب شدند. سپس نقشه لایه‌های عاملی منطقه شامل نقشه‌های شبیب، واحدهای لیتولوژی، منحنی‌های هم‌بارش، دوری و نزدیکی به آبراهه، دوری و نزدیکی به جاده، دوری و نزدیکی به روستا و واحدهای کاربری‌های زمین‌تهیه شده و هر نقشه کلاس‌بندی شدند. برای کلاس‌بندی در مورد طبقات برخی عوامل، از نمودار تجمعی پیکسلها در مقابل ارزش هر پیکسل استفاده شد.

تراکم سنگی و وزن‌دهی کلاس‌های مختلف متغیرها

به منظور تعیین میزان تأثیر هر کلاس در وقوع زمین‌لغزش‌ها و ترسیم نقشه پهنه‌بندی، نقشه پراکنش زمین‌لغزش‌ها با هر کدام از لایه‌های عاملی ترکیب شد و وزن مربوط به هر کلاس همانند (Suzen and Dooran, 2004, 1269-1272)، (Yin and Yan, 1998, 303-321)، (Nefeslioglu et al, 2008, 401-418) (Gokceoglu et al, 2005,) و (Wi⁺) از طریق روش آماری دو متغیره^۱ و مدل وزنی شاهد^۲ معادله (۱) و (۲) محاسبه شد. این روش برای هر لایه عاملی براساس وجود یا فقدان زمین‌لغزش در منطقه وزن می‌دهد (Dahal et al, 2008, 499)، وجود عامل علتی^۳ زمین‌لغزش را در منطقه نشان می‌دهد و بزرگی آن وزن، همبستگی بین وقوع زمین‌لغزش و عامل را آشکار می‌سازد. بر عکس آن (Wi⁻) وزن منفی، عدم وجود عامل علتی را در محل زمین‌لغزش نشان می‌دهد. درنهایت اختلاف بین وزن‌های مثبت و منفی (W_f)، بزرگی ارتباط مکانی بین عامل علتی و زمین‌لغزش را بیان می‌کند (heiery et al., 2007, 45). وزن‌های بدست آمده براساس معادله‌های (۱) و (۲) به کلاس‌های نقشه‌های موضوعی اختصاص یافت و نقشه‌های وزنی حاصل از آنها با هم ترکیب شد. در نهایت نقشه پهنه‌بندی خطر از جمع جبری نقشه‌های وزنی در محیط (GIS) و با استفاده از نرم‌افزار Arc View در ۵ پهنه بسیار پرخطر، پرخطر، متوسط، کم‌خطر و بسیار کم‌خطر ترسیم شد.

1- Bivariate Statistical Methods (BSM)

2- Wieghts-of-Evidence (WOE)

3- Causative factor

(معادله ۱)

$$wi^+ = \log e \frac{\frac{Npix_1}{Npix_1 + Npix_2}}{\frac{Npix_3}{Npix_3 + Npix_4}}$$

$$wi^- = \log e \frac{\frac{Npix_2}{Npix_1 + Npix_2}}{\frac{Npix_4}{Npix_3 + Npix_4}}$$

(معادله ۲)

$$wf = (wi^+ - wi^-)$$

Npix₁ تعداد پیکسل‌های عامل بالقوه علتی زمین‌لغزش و زمین‌لغزشNpix₂ وجود زمین‌لغزش‌ها و فقدان عامل بالقوه علتی زمین‌لغزشNpix₃ وجود عامل بالقوه علتی زمین‌لغزش و فقدان زمین‌لغزشNpix₄ فقدان عامل بالقوه علتی زمین‌لغزش و زمین‌لغزش

ارزیابی روش پهنه‌بندی

برای ارزیابی دقت و صحت نقشه پهنه‌بندی، نخست از زمین‌لغزش‌های قدیمی موجود در منطقه که در محاسبات قبلی وارد نشده بودند استفاده شد. برای این منظور نقشه‌های پراکنش زمین‌لغزش‌های قدیمی و پهنه‌بندی خطر زمین‌لغزش ترکیب شدند و با استفاده از معادله (۳) شاخص Li محاسبه شد. سپس همانند جباری (۱۳۸۶، صص ۵۵-۶۷) و Moreiras (345-357,2005) این شاخص برای ارزیابی دقت نقشه پهنه‌بندی براساس پراکنش زمین‌لغزش‌های اتفاق افتاده در هر پهنه خطر محاسبه شد.

معادله (۳)

$$Li = \frac{\sum_i^n \frac{Ai}{Si}}{\sum_i^n \frac{Ai}{Si}}$$

Li نواحی متأثر شده از زمین‌لغزش در هر کلاس خطر، Ai مساحت زمین‌لغزش در هر پهنه خطر، Si مساحت پهنه خطر و n تعداد طبقات مربوط به پهنه‌های خطر زمین‌لغزش می‌باشد. صحت پهنه‌بندی وقتی تأیید می‌شود که میزان(Li) در پهنه‌های با حساسیت بسیار زیاد و زیاد، بیشتر باشد. به عبارت دیگر، تراکم زمین‌لغزش‌ها در نواحی با حساسیت متوسط تا بسیار زیاد بیشتر باشد.

تحلیل خطرپذیری

برای تحلیل خطرپذیری جوامع انسانی از پدیده زمین‌لغزش، پراکنش روستاهای در روی نقشه پهنه‌بندی خطر زمین‌لغزش مشخص شد. جمعیت روستاهای هر پهنه از آمار سرشماری عمومی نفوس مسکن (۱۳۸۵) استخراج شد و جمعیت در معرض خطر زمین‌لغزش برآورد شد. قابل ذکر است در آمار جمعیت این منطقه، ساکنان ثابت روستاهای (جمعیت روستایی) مدنظر بوده و جمعیت خانه‌های دوم که اغلب بصورت فصلی به تعداد ساکنین این منطقه افزوده می‌شوند، محاسبه نشده است.

نتایج و بحث

بررسی لایه‌های عاملی وقوع زمین‌لغزش در دامنه شمالی کوهستان سهند، براساس روش آماری دومتغیره و مدل وزنی شاهد، نشان می‌دهد که از بین عوامل علی، عوامل طبیعی و انسانی مانند شبیب، بارش، کاربری اراضی و فاصله از روستا به ترتیب با W_f بیشتر در وقوع زمین‌لغزش‌های منطقه نقش داشته‌اند (جدول ۱).

از عوامل طبیعی، تمامی طبقات عامل شبیب (باشتانای شبیه‌های کمتر از ۱۵ درجه) با داشتن وزن-های مثبت، مستعد وقوع زمین‌لغزش در منطقه هستند. در بین طبقات، شبیب ۴۵-۶۰ درجه با $W_f = +0/733$ حساس‌تر است و شبیه‌های بیش از ۶۰ درجه مساحت اندکی دارند (جدول ۱). به همین علت است که بیشتر زمین‌لغزش‌ها در ارتفاعات منطقه بویژه نواحی کوهستانی و دامنه‌های مشرف به دره‌های اصلی که شبیدارند دیده می‌شوند. از میان طبقات بارش هم، نواحی با بارش ۴۶۶-۵۰۴ میلیمتر بیشترین میزان همبستگی ($W_f = +0/991$) را با وقوع زمین‌لغزش نشان می‌دهد. مقادیر کمتر از ۴۶۶ میلیمتر همبستگی معمولاً منفی دارند. بارش‌های بیش از ۴۶۶ میلیمتر معمولاً بر مناطق کوهستانی (واحد کوهستانی جنوب و ارتفاعات شمال‌شرقی) منطقه منطبق می‌باشند. از این‌رو ارتفاعات از نظر تأمین رطوبت، برای وقوع زمین‌لغزش مستعدتر هستند.

انسان نیز با انجام فعالیت‌های مختلف (زراعی، دامداری، عمرانی و غیره) در منطقه موجبات وقوع انواع زمین‌لغزشها را فراهم می‌کند. بطوری که ۱/۵ کیلومتری پیرامون آبادی‌ها با $W_f = +0/71$ (بویژه ۵۰۰ متری روستاهای با $W_f = +0/73$) همبستگی مثبت و بالایی با وقوع زمین‌لغزش‌ها نشان می‌دهند. در ا نوع کاربریها هم این تأثیر بیشتر در نواحی با کشت آبی ($W_f = +0/462$) دیده می‌شود. برای مثال زارعان با انحراف آبراهه‌ها و انتقال آب از روی دامنه‌ها (شامل مواد آبرفتی و سازنده‌های سطحی) به زمینهای زراعی، سبب نفوذ آب در نهشته‌ها می‌شوند، در این صورت مواد مستعد به جابجایی گشته و موجب ناپایداری مواد دامنه‌ای در سطوح دامنه می‌شوند.

جدول (۱) وزن‌های محاسبه شده کلاس‌های متعدد لایه‌های عاملی براساس زمین‌لغزش‌های کنونی کوهستان سهند

عوامل علتی	تعداد پیکسل‌های زمین‌لغزش	درصد مساحت	تعداد پیکسل‌های عوامل	درصد مساحت	W _f	W _i ⁻	W _i ⁺
واحدهای لیتوژئی							
شیل‌های آهکی	۸۸۳	۷/۱۳۹	۳۹۳/۲	۵/۶۷۸	۰/۲۲۹	-۰/۰۱۶	+۰/۲۴۵
آبرفت‌ها	۱۲۴۶	۱۰/۷۴	۵۸۵۱۴	۸/۴۵۱	۰/۱۷۵	-۰/۰۱۷	+۰/۱۹۲
ولکانوسیدمانتر	۶۶۶۴	۵۳/۸۷۶	۴۶۲۰۹۹	۶۶/۷۴۲	-۰/۲۴۵	+۰/۲۳۵	-۰/۰۵۹
دبوریت موژزوینیت	۳۵	۰/۲۸۳	۵۷۰۱	۰/۸۲۳	-۰/۰۰۵	+۰/۰۰۵	-۰/۰۷۲
سنگ‌های آذرین	۳۵۴۱	۲۸/۶۲۸	۱۲۶۷۴۵	۱۸/۳۰۶	-۰/۰۱۳۵	+۰/۰۴۷	+۰/۰۸۲
شیب							
<۱۵	۵۰۴۸	۴۸/۸۹۶	۴۸۴۸۲۹	۷۰/۰۲۴	-۰/۳۵۹	+۰/۵۳۶	-۰/۰۸۹۵
۱۵-۳۰	۵۷۷۱	۴۶/۶۵۷	۱۸۹۱۲۳	۲۷/۲۱۵	-۰/۰۳۱	+۰/۵۶۶	-۰/۰۵۶
۳۰-۴۵	۴۲۸	۳/۴۶۰	۱۵۱۳۷	۲/۱۸۶	-۰/۰۱۳	+۰/۴۵۹	-۰/۰۷۲
۴۵-۶۰	۱۲۱	۰/۹۷۸	۳۲۷۰	۰/۴۷۲	-۰/۰۰۵	+۰/۷۲۸	-۰/۰۲۳
بارش	۱	۰/۰۰۳	۱۲	۰/۰۰۲	-۰/۰۰۰۹	+۰/۰۵۶۸	-۰/۰۵۶۹
۲۴۰-۲۷۷	۴۵۷	۳/۶۹	۲۲۲۸۹	۳/۲۲	-۰/۰۰۴	+۰/۱۳۶	-۰/۰۱۴
۲۷۷-۳۱۵	۶۹۱	۵/۵۸	۷۷۱۹۸	۱۱/۱۵	-۰/۰۹۲	-۰/۰۹۲	-۰/۰۷۶۳
۳۱۵-۳۵۳	۱۳۶۹	۱۱/۰۷	۱۸۳۴۷۵	۲۶/۴۹	-۰/۰۱۹	-۰/۰۸۷۳	-۰/۰۸۹۲
۳۵۳-۳۹۱	۲۰۵۸	۱۶/۶۴	۱۳۱۵۶	۱۸/۹۹	-۰/۰۲۸	-۰/۰۱۳۲	-۰/۰۱۶
۳۹۱-۴۲۸	۲۱۳۱	۱۷/۲۳	۸۸۱۸۹	۱۲/۷۴	-۰/۰۰۴	-۰/۰۲۰	-۰/۰۳۶
۴۲۸-۴۶۶	۱۱۹	۹/۶۷	۷۵۹۸۸	۱/۹۷	-۰/۰۱۵	-۰/۰۱۱	-۰/۰۱۶
۴۶۶-۵۰۴	۲۵۵۷	۲۰/۶۷	۶۱۹۹	۸/۸۲	-۰/۰۱۳۹	-۰/۰۸۵۲	-۰/۰۹۹۱
۵۰۴-۵۴۲	۱۶۲۴	۱۳/۱۳	۴۲۹۴۲	۶/۲	-۰/۰۰۷۷	-۰/۰۷۵۰	-۰/۰۲۲۷
۵۴۲-۵۸۰	۲۹۲	۲/۳۶	۹۶۸۵	۱/۱۳۹	-۰/۰۱۰۲	-۰/۰۵۲۹	-۰/۰۵۲۹
کاربوئی زمین							
مرانع	۵۶۶۴	۴۵/۷۹۲	۴۲۰۵۰۰	۶۰/۷۳۳	-۰/۰۲۱	-۰/۰۲۱	-۰/۰۶۰۳
درختی	۹۷۸	۷/۹۰۷	۴۵۴۲۲	۶/۵۶۲	-۰/۰۱۴	-۰/۰۱۴	-۰/۰۲
کشت آبی	۱۲۱۰	۹/۷۸۳	۴۴۲۸	۹/۳۹۴	-۰/۰۳۷	-۰/۰۲۵	-۰/۰۴۶۲
کشت دامن	۱۳۷۲	۱۱/۹۲	۶۴۷۲۵	۹/۱۲۸	-۰/۰۱۸	-۰/۰۱۷	-۰/۰۱۸۹
برونزد سنگی	۳۱۴۵	۲۵/۴۲۶	۱۱۷۴۴۶	۱۶/۹۵۳	-۰/۰۱۷	-۰/۰۴۰	-۰/۰۵۱۲
فاصله از جاده							
۰-۱۰۰	۱۱۸	۰/۹۵	۱۲۱۸۸	۱/۷۹	-۰/۰۱۶	-۰/۰۰۸	-۰/۰۶۲۴
۱۰۰-۲۰۰	۱۱۷	۱/۲۷	۱۲۱۱۲	۱/۷۴۹	-۰/۰۲۲	-۰/۰۰۶	-۰/۰۵۳۸
۲۰۰-۳۰۰	۱۷۹	۱/۴۴۷	۱۲۱۲۷	۱/۷۵۲	-۰/۰۰۳	-۰/۰۱۹۱	-۰/۰۱۹۴
۳۰۰-۴۰۰	۱۳۲	۱/۰۶۷	۱۲۰۵۶	۱/۷۶۱	-۰/۰۰۶	-۰/۰۴۸۹	-۰/۰۴۹۵
۴۰۰-۵۰۰	۱۸۱	۱/۴۶۳	۱۲۱۳۹	۱/۷۵۳	-۰/۰۰۳	-۰/۰۱۸۱	-۰/۰۱۸۴
۵۰۰-۶۰۰	۱۱۶۳۷	۹۴/۱۸۷	۶۳۱۷۹	۹۱/۲۴۴	-۰/۰۲۸۸	-۰/۰۲۱	-۰/۰۴۱۹
فاصله از روستا							
-۰-۵۰۰	۱۲۲۳	۹/۹۶۸	۳۵۰۰۷	۵/۰۵۶	-۰/۰۷۸	-۰/۰۵۳	-۰/۰۷۲۱
۵۰۰-۱۰۰۰	۱۲۰۹	۹/۷۷۷	۵۹۱۴۲	۸/۰۴۷	-۰/۰۱۴	-۰/۰۰۶	-۰/۰۱۴۸
۱۰۰۰-۱۵۰۰	۱۴۶۱	۱۱/۸۱۲	۷۶۶۹۳	۱۱/۷۷۷	-۰/۰۰۷	-۰/۰۰۷	-۰/۰۷۱
۱۵۰۰-۲۰۰۰	۱۰۱۷	۸/۲۲۲	۸۸۴۰۷	۱۲/۷۶۸	-۰/۰۴۰	-۰/۰۵۰	-۰/۰۴۹
۲۰۰۰-۲۵۰۰	۹۲۳	۷/۴۶۳	۱-۰۵۲۳	۱۲/۶۶۷	-۰/۰۷۵	-۰/۰۸۱	-۰/۰۷۵۶
>۲۵۰۰	۶۵۲۶	۵۲/۷۶۱	۲۲۱۵۹	۲۷/۸۹۲	-۰/۰۹۷	-۰/۰۹۷	-۰/۰۱۹۵
فاصله از آبراهه							
-۰-۱۰۰	۱۰۸۹	۸/۸۰۴	۱۱-۰۲۰	۱۶/۰۰۶	-۰/۰۳۷	-۰/۰۸۳	-۰/۰۶۸
۱۰۰-۲۰۰	۱۸۰۱	۱۴/۵۶۱	۱-۰۵۶۷۲	۱۵/۲۶۲	-۰/۰۴۷	-۰/۰۰۸	-۰/۰۵۵
۲۰۰-۳۰۰	۲۷۵۳	۲۲/۲۵۷	۱-۰۴۴۵۶	۱۵/۰۸۷	-۰/۰۸۸	-۰/۰۴۷۶	-۰/۰۴۷۶
۳۰۰-۴۰۰	۱۹۵۶	۱۵/۸۱۴	۱-۰۵۵۷۹	۱۵/۲۴۸	-۰/۰۰۶	-۰/۰۳۶	-۰/۰۴۲
۴۰۰-۵۰۰	۱۱۸۹	۹/۶۱۳	۱-۰۳۲۱۶	۱۴/۹۰۷	-۰/۰۴۳۸	-۰/۰۶	-۰/۰۴۹۸
>۵۰۰	۳۵۸۱	۲۸/۹۵۱	۱۶۲۶۲۸	۲۲/۴۸۸	-۰/۰۷۵	-۰/۰۹	-۰/۲۸۴

گذشته از عوامل موثر در وقوع زمین‌لغزش‌ها، نقشه پهنه‌بندی خطر در دامنه شمالی توده کوهستانی سهند، که از ترکیب نقشه‌های وزنی ($\sum W_f$) تهیه و ترسیم شده است نشان می‌دهد که ۴۱/۶۸ درصد کل منطقه مورد مطالعه در معرض خطر متوسط تا بسیار زیاد قرار دارد (شکل ۳). بطوری‌که خطر متوسط در حدود ۲۸ درصد، خطر زیاد ۱۳ درصد و خطر خیلی زیاد ۰/۲۴ درصد منطقه را در برگرفته است (جدول ۲). نواحی با خطر متوسط تا خیلی زیاد شامل مناطق کوهستانی و دامنه‌های مشرف به دره‌های اصلی سعیدآبادچای و لیقوان‌چای می‌باشند.

جدول (۲) مساحت و درصد طبقات خطر پهنه‌بندی زمین‌لغزش در شمال توده سهند

شاخص % (Li)	تراکم	تعداد پیکسل‌های خطر کلاس‌های خطر	تعداد پیکسل‌های زمین‌لغزش در هر کلاس خطر	درصد مساحت	مقادیر	طبقات خطر
۰/۳۸	۰/۰۰۱	۱۹۱۵۷۵	۲۴۳	۲۷/۶۷	<-۲۲	خیلی کم
۶/۹۷	۰/۰۱۸	۲۱۲۲۴۰	۳۸۹۷	۳۰/۶۴	-۲۲--۸/۵	کم
۹/۳۰۲	۰/۰۲۴	۱۹۵۴۴۵	۴۶۶۰	۲۸/۲۳	-۸/۵-۵/۱	متوسط
۱۳/۹۵	۰/۰۳۶	۹۱۴۳۶	۳۲۶۸	۱۳/۲۱	۵/۱-۱۸/۵	زیاد
۶۹/۳۸	۰/۱۷۹	۱۶۷۵	۳۰۱	۰/۲۴	>۳۲	خیلی زیاد

سیر صعودی شاخص Li در جدول (۲) بطرف طبقات با خطر خیلی زیاد، صحت و دقت نقشه پهنه‌بندی را تأیید می‌کند. زیرا نواحی متأثر شده از زمین‌لغزش را در طبقات با خطر متوسط تا خیلی زیاد نشان می‌دهد. بطوری‌که پهنه با خطر خیلی زیاد، ۶۹ درصد از وقوع زمین‌لغزش‌ها متأثر شده است. جدول (۳) نیز تأیید دیگری بر دقت نقشه پهنه‌بندی خطر با استفاده از پراکنش زمین‌لغزش‌های قدیمی است. زمین‌لغزش‌های قدیمی دامنه شمالی کوهستان سهند در نواحی کوهستانی و در محدوده خطر متوسط تا خیلی زیاد قرار دارند. در حدود ۸۸ درصد زمین‌لغزش‌های قدیمی در پهنه خطر خیلی زیاد هستند.

جدول (۳) ارزیابی شاخص درصد (Li) با استفاده از زمین‌لغزش‌های قدیمی در شمال توده سهند

ردیف	طبقه خطر	مساحت زمین‌لغزش‌های قدیمی	شاخص (Li) %
۱	خیلی کم	·	·
۲	کم	·	·
۳	متوسط	۶۸۱	۵/۹۴
۴	زیاد	۳۲۵	۵/۹۴
۵	خیلی زیاد	۸۷	۸۸/۱۲
۶	جمع کل	۱۰۹۳	۱۰۰

بدلیل ویژگی کوهستانی منطقه، اغلب روستاهای دامنه شمالی توده سهند بر روی دامنه‌های ارتفاعات مشرف به دره‌های اصلی لیقوان‌چای و سعیدآبادچای استقرار دارند (شکل ۴). با فاصله گرفتن از کوهستان، مقر روستاهای دره‌ها و دشت سیلابی رودهای اصلی منطقه انتقال یافته است. به علت این مکان‌گزینی، ۲۰ درصد آبادی‌های دامنه شمالی سهند از نظر وقوع زمین‌لغزش در پهنه‌های با خطر کم، ۶۰ درصد در محدوده خطر متوسط و بقیه روستاهای در ناحیه با خطر زیاد قرار دارند (جدول ۴).

از کل جمعیت ۲۳۸۳۲ نفری روستا که براساس سرشماری عمومی نفوس و مسکن (۱۳۸۵) بدست آمده، ۷۳/۵ درصد جمعیت این منطقه در نواحی با خطر متوسط زمین‌لغزش، حدود ۱۰ درصد در مناطق با خطر زیاد زمین‌لغزش و ۱۶/۵ درصد در نواحی کم خطر زندگی می‌کنند. برای مثال روستای سعیدآباد بدلیل ویژگی‌های توپوگرافی از مناطق کم خطر از نظر وقوع خطر زمین‌لغزش است. هم‌اکنون به علت دوری از این خطرات، ساخت و ساز مساکن جدید روستایی به تبعیت از خانه‌های دوم گردشگری به سمت دشت سیلابی رودهای سعیدآبادچای و لیقوان‌چای کشیده می‌شود. قابل ذکر است که احداث خانه‌های دوم در نواحی بیلاقی پایکوههای سهند امروز بسیار پر رونق شده است.

جدول (۴) درصد روستاهای در معرض خطر زمین‌لغزش در شمال کوهستان سهند

پهنه‌های خطر زمین-لغزش	درصد مساحت	تعداد روستاهای در خطر	درصد روستاهای در خطر	جمعیت در خطر (نفر)	درصد جمعیت در خطر
خیلی کم	۲۷/۶۷	۰	۰	۰	۰
کم	۳۰/۶۴	۲	۲۰	۳۹۵۳	۱۶/۵۸۷
متوسط	۲۸/۲۳	۶	۶۰	۱۷۵۳۱	۷۲/۵۶
زیاد	۱۳/۲۱	۲	۲۰	۲۳۴۸	۹/۸۵
خیلی زیاد	۰/۲۴	۰	۰	۰	۰
جمع کل	۱۰۰	۱۰	۱۰۰	۲۳۸۲۲	۱۰۰

علاوه بر سکونتگاه‌های انسانی، مزارع و مراتع دامنه‌های شمالی توده سهند بوسیله انواع زمین‌لغزش‌ها مانند لغزش‌های انتقالی و چرخشی، سنگ لغزش و غیره تهدید می‌شوند (شکل ۳). از جمله مزارع، مراتع و چراگاه‌های غنی روستای سفیده‌خوان شاهد وقوع انواع زمین‌لغزش‌های بزرگ و کوچک می‌باشند. در اثر وقوع لغزش‌های مرکب، ناشی از نفوذ آب‌ذوبان یخبرفها در مواد نهشته‌ای و دامنه‌ای امتداد هزارچای، مراتع و چمنزارهای غنی اطراف روستای ثمرخزان درمعرض تخریب قرار دارند (شکل ۴).



شکل ۳- نمایی از مساکن روستای بیرق مشرف به دره لیقوان چای به تخته سنگ‌های بزرگ مستقر در روی دامنه توجه کنید.



شکل ۴- مراتع و مزارع در معرض تخریب روستای سفیده خوان

همچنین در دامنه بعضی ارتفاعات، مانند سه‌رین داغ (شکل ۵)، در اثر نفوذ آبهای سطحی (آبدویان - بارش) به لایه‌های زیرین، از درز و شکاف سنگ‌های آذرین ارتفاعات بالا و رسیدن مواد زیرین با ماتریس مناسب به حد پلاستیستیه، فشار وارد از لایه‌های فوقانی در اثر (آمد و شد پی در پی احشام، لگدکوب و فشرده‌تر کردن خاک‌ها در زیر پای آنها) و نیروی ثقل، توده‌ای از مواد دامنه‌ای، به پایین شیب حرکت می‌کنند. این پدیده به صورت بطئی انجام می‌شود و اشکال پله مانندی را روی دامنه‌ها به وجود می‌آورد. قطع این دامنه‌ها برای احداث جاده و راههای ارتباطی، لغزش‌های بزرگی را در منطقه ایجاد کرده است (شکل ۴). ادامه این روند در آینده بی‌گمان، تخریب خاک‌های حاصلخیز و از بین رفتن تدریجی مراتع غنی را در پی خواهد داشت.



شکل ۵- وقوع انواع زمین‌لغزش‌ها در روستای سفیده خوان (سمت راست)
و ثمرخزان (سمت چپ)

نتیجه گیری

براساس نقشه پهنه بندی خطر، در حدود ۴۱/۶۸ درصد مساحت منطقه در محدوده خطر متوسط تا بسیار زیاد قرار دارد. از آنجایی که، تمامی روستاهای منطقه بر روی دامنه‌های شیبدار و مشرف به دره‌های لیقوان چای و سعیدآباد چای استقرار یافته‌اند، از شرایط مناسبی برخودار نیستند. تراکم زمین‌لغزش‌ها با نزدیکی به نواحی روستایی افزایش می‌یابد و در نیم کیلومتری آنها به حداقل خود می‌رسد. از اینرو، مناطق روستایی حوضه‌های لیقوان چای و سعیدآباد چای همواره در معرض خطرات ناشی از ریزش‌ها، لغزش‌ها و جریان‌های واریزهای قرار دارند. برای مثال، تخریب مکانیکی برونزدهای سنگی ارتفاعات به صورت ماکروژلیو، سقوط آنها به پایکوه تحت تأثیر نیروی ثقل، موجب استقرار بلوک‌های سنگی بر روی دامنه‌ها و بر فراز مساکن روستایی ایرانق و بیرق شده است. همچنین ریزش‌های واریزهای، لغزش توده‌های سنگی و غیره از پدیده‌های غالب در روستاهای متنق می‌باشد که مساکن روستایی را مورد تهدید قرار می‌دهد، به‌طوری که برخی از اهالی به علت خطرات ناشی از وقوع لغزش‌های سنگی و جریان‌های واریزهای منازل خود را ترک کرده‌اند. وقوع انواع لغزش‌ها، بهویژه لغزش‌های چرخشی و انتقالی، نیاز‌مواردی است که مراعت، اراضی زراعی و راه‌های ارتباطی تعدادی از روستاهای از جمله سفیده خوان و شمرخان را تخریب نموده و خسارت‌های مالی زیادی برای ساکنین به همراه دارد. وقوع این پدیده‌ها و آسیب پذیری بسیار بالای مساکن روستایی در مقابل آنها، سبب شده است که اغلب مناطق مسکونی منطقه مطالعاتی، در پهنه‌بندی خطر حرکات توده‌ای در محدوده خطر متوسط - زیاد قرار گیرند. البته اثرات دخالت شتابزده انسان مانند تغییر کاربری اراضی، ساخت خانه‌های دوم گردشگری، احداث جاده در دشت سیلابی رودها و غیره که در حال حاضر در محیط اتفاق می‌افتد، در سال‌های آینده بر مساحت مناطق پرخطر خواهد افزود. ارائه نقشه پهنه‌بندی خطر زمین‌لغزش‌ها، محدودیتها و تنگناهای موجود بر سرراه برنامه‌های عمرانی و توسعه، را در نواحی مختلف منطقه آشکار می‌سازد. بنابراین، برای افزایش ضربی اطمینان پروژه‌های عمرانی و به منظور کاهش آثار و پیامدهای زیانبار وقوع پدیده‌های طبیعی، کسب اطلاعات و آگاهی از دینامیک محیط طبیعی براساس نقشه‌های مذکور امکان پذیر می‌گردد.

منابع

۱. اردلان، علی و همکاران، ۱۳۸۵. مدیریت خطر جامع مردم - محوربلایا در مناطق روستایی، مجموعه مقالات دومین کنفرانس بین‌المللی مدیریت بحران در حوادث غیرمتربقه، ۲۴-۲۵ بهمن ماه. تهران. ایران.
۲. باقریان، رحیم، گودرزی، محمد، و غیومیان، جعفر، ۱۳۸۴. بررسی خسارات اقتصادی و اجتماعی زمین‌لغزش (مطالعه موردیک امامزاده علی و باریکان طالقان)، نشریه علمی پژوهشی آب و آبخیز، شماره ۲.
۳. جباری، ایرج، ۱۳۸۴. تحلیلی بر محدودیت‌های پهنه‌بندی مناطق حساس به حرکات توده‌ای (غرب و جنوب غرب شهرستان اورمیه). جغرافیا و توسعه. شماره ۶. صص ۹۲-۷۱.
۴. رضایی مقدم، محمدحسین، ۱۳۷۰. تحقیق در تحول ژئومورفولوژی دامنه شمالی توده آتشفسانی سهند، دره سعیدآبادچای، پایاننامه کارشناسی ارشد، دانشگاه تبریز.
۵. زنگنه اسدی، محمدعلی، ۱۳۶۹. پژوهش‌های ژئومورفولوژی در دامنه شمالی سهند حوضه لیقوان‌چای، پایاننامه کارشناسی ارشد، دانشکده ادبیات و علوم انسانی، دانشگاه تبریز
۶. شریفی کیا، محمد، ۱۳۸۶. بررسی خطر زمین‌لغزش و تحلیل ریسک‌پذیری در بخشی از البرز مرکزی، مجموعه مقالات دومین همایش مقابله با سوانح طبیعی، تهران. ایران.
۷. فیض‌نیا، سادات، احمدی، حسن و محمد حسن‌زاده، ۱۳۸۰. پهنه‌بندی خطر زمین‌لغزش حوضه آبخیز شلمانرود در استان گیلان، مجله منابع طبیعی ایران. جلد ۵، شماره ۴، صص ۲۱۹-۲۰۷.
۸. مرکز ملی آمار ایران، ۱۳۸۵. سرشماری عمومی نفوس مسکن، جمعیت آبادی‌ها.
۹. معماریان، حسین، ۱۳۸۱. زمین‌شناسی مهندسی و ژئوتکنیک، انتشارات دانشگاه تهران، شماره ۲۲۶۸، چاپ سوم، ۹۵۳ ص.
10. Ayalew,L,yamagi shi, H.Marui, H. and kanno,T . 2005. Landslides in Sado Island of Japan:Part II.GIS- based Susceptibility mapping with comparisons of results from two methods and verifications. Engineering Geology. 81:432-445.
11. Carrara,A., Guzzetti,F., Cardnali,M., Reichenback,P., 1999. Use of GIS technology in the predicton and monitoring of landslide hazard. Natural Hazard 20,117-135.

12. Carrara,A., Crosta, G., Frattni,P., 2003. Geomorphological and historical data in assessing landslide hazard. *Earth Surface Processes and Landforms* 28, 1125-1142.
13. Dahal,R.K., Hasegawa,Sh., Nonoura.A., Yamanka,M., Dhakal,S., Paudyal., P. 2008. Predictive modeling of rainfall- induced landslide hazard in the lesser Himalaya of Nepal based on weights of evidence, *Geomorphology* 102, 496- 510.
14. Goudie,A.S., 2004. *Encyclopedia of Geomorphology*. Routledge Ltd.
15. Gokccoglu,C. Sonmez,H., Nefeslioglu., H.A., Duman,T.Y., Can,T., 2005. The March 17, 2005 Kuzulu Landslide (Sivas,Turkey) and landslide susceptibility map of its close vicnty. *Engineering Geology* 81,65-83.
16. Guinau, M.Pallás,R. Vilaplana,J ., 2005. A feasible methodology countries : A case-study of NW Nicaragua after Hurricane Mitch. *Engineering Geology*. 80:316-327.
17. Lan, H.X., Zhou.C.H., Wong.L.J., Zhang.H.Y., Li.R.H., 2004. Landslide hazard spatial analysis and predicton Using GIS in the Xiaojing Watersed, Chaina. *Engineering Geology*. 76,109-128.
18. Moreiras, S. 2005. Landslide Susceptibility zonation in the Rio Mendoza Valley , Argentina. *Geomorphology* 66, 345-357.
19. Nefeslioglu,H., Duman,T. Durmaz,S., 2008. Landslide Susceptibility mapping for apart of tectonic Kelkit Valley. *Geomorphology* 94, 401-148.
20. Suzen,M.L. and Doyuran, V., 2004. Data driven bivariate landslide susceptibility assessment using geographical information system: a method and application to Asarsuyu catchment, Turkey.*Engineering Geology*, Vol: 71, 303-321.
21. Thiery,Y., Malet,J.P., Sterlacchn,S., Puissant,A., Maquaire,O. 2007. Landslide Susceptibility assessment by bivariate methods at large scale. *Geomorphology* 92, 38-59.
22. Yin, k.L., Yan.T.z .,1988. Statistical prediction model for slope instability of metamorphosed rock. In: Bonnard, C.(Ed.), roc.5th.Int.sym. on landslides, lausanne. Balkema, Rotterdam, p:1269-1272.